

01; 07

© 1991

О НЕРАВНОВЕСНОМ НАГРЕВАНИИ МЕТАЛЛА  
ПИКОСЕКУНДНЫМ ЛАЗЕРНЫМ ИМПУЛЬСОМ

С.И. А н и с и м о в, А.В. Б а р с у к о в

В работе [1] было предложено аналитическое решение задачи о нагреве металла ультракоротким лазерным импульсом [2, 3], полученное при некоторых упрощающих предположениях. В данной заметке излагаются результаты сравнения решения [1] с численным решением полной задачи и выясняются условия применимости решения [1].

Нагрев металла коротким лазерным импульсом описывается системой уравнений [2, 3]:

$$\begin{cases} c_e(T_e) \frac{\partial T_e}{\partial t} = \frac{\partial}{\partial z} \chi_0 \frac{T_e}{T_p} \frac{\partial T_e}{\partial z} - \alpha \cdot (T_e - T_p) + f(z, t), \\ c_p \frac{\partial T_p}{\partial t} = \alpha \cdot (T_e - T_p) \end{cases}, \quad (1)$$

при граничных и начальных условиях:

$$\begin{cases} \left. \frac{\partial T_e}{\partial z} \right|_{z=0} = 0, & \left. \frac{\partial T_e}{\partial z} \right|_{z=\infty} = 0, \\ T_e(z, 0) = T_p(z, 0) = T_0. \end{cases} \quad (2)$$

Здесь  $T_e$  и  $T_p$  соответственно электронная и фононная температура,  $f(z, t) = A(T_p) \cdot \mu \cdot \exp(-\mu \cdot z) \cdot W_0 \cdot g(t)$  - энергосодержание в металле, где  $g(t)$  нормировано так, чтобы

$\int_0^{\infty} g(t) dt = \tau$ , где  $\tau$  - длительность импульса.

В [1] данная задача рассматривалась для случая  $g(t) = const$  в предположении, что можно пренебречь членом  $c_e(T_e) \cdot \partial T_e / \partial t$  в первом уравнении ввиду малости электронной теплоемкости. Предполагалось также, что коэффициент поглощения поверхности можно принять равным  $A(T_p) = A_0 + \alpha \cdot T_p \approx \alpha \cdot T_p$ , то есть фактически решалась следующая система уравнений:

$$\begin{cases} \frac{\partial}{\partial z} x_0 \frac{T_e}{T_p} \frac{\partial T_e}{\partial z} - \alpha \cdot (T_e - T_p) + \alpha \cdot T_p \Big|_{z=0} \cdot q \cdot \mu \cdot \exp(-\mu z) = 0, \\ c_p \frac{\partial T_p}{\partial t} = \alpha \cdot (T_e - T_{ph}). \end{cases} \quad (3)$$

В [1] было показано, что частное решение системы (3) имеет вид

$$T_e = \gamma \cdot \exp(r \cdot t) \cdot \psi^2(z),$$

$$T_p = \exp(r \cdot t) \cdot \psi^2(z),$$

где

$$\psi^2(x) = C \cdot \exp\left(-\sqrt{\frac{\alpha(\gamma-1)}{x_0 \cdot \gamma^2}} \cdot x\right) + B \cdot \exp(-\mu \cdot x),$$

причем B и C определяются с точностью до постоянного множителя  $T_0$ :

$$B = - \frac{W_0 \cdot \alpha \cdot T_0 \cdot \mu}{x_0 \cdot \gamma^2 \cdot \left(\mu^2 - \frac{\alpha \cdot (\gamma-1)}{x_0 \cdot \gamma^2}\right)},$$

$$C = \frac{W_0 \cdot \alpha \cdot T_0 \cdot \mu^2}{x_0 \cdot \gamma^2 \cdot \left(\mu^2 - \frac{\alpha \cdot (\gamma-1)}{x_0 \cdot \gamma^2}\right) \cdot \sqrt{\frac{\alpha(\gamma-1)}{x_0 \cdot \gamma^2}}}.$$

При этом выполняются соотношения:

$$\begin{aligned} c_p \cdot r = \alpha(\gamma-1), \quad \sqrt{r} \left(1 + r\tau + \frac{1}{\mu} \cdot \sqrt{\frac{r}{\alpha_0}}\right) = \sqrt{r_0}, \\ \alpha_0 = \frac{x_0}{c_p}, \quad r_0 = \frac{g^2 \cdot \alpha^2}{x_0 \cdot c_p}, \quad \tau = \frac{c_p}{\alpha}. \end{aligned} \quad (4)$$

Легко видеть некоторые особенности этого решения: с одной стороны, оно не учитывает начального условия, а при  $z \rightarrow \infty$  дает нулевое значение  $T_e$  и  $T_p$ , что приводит к неопределенности

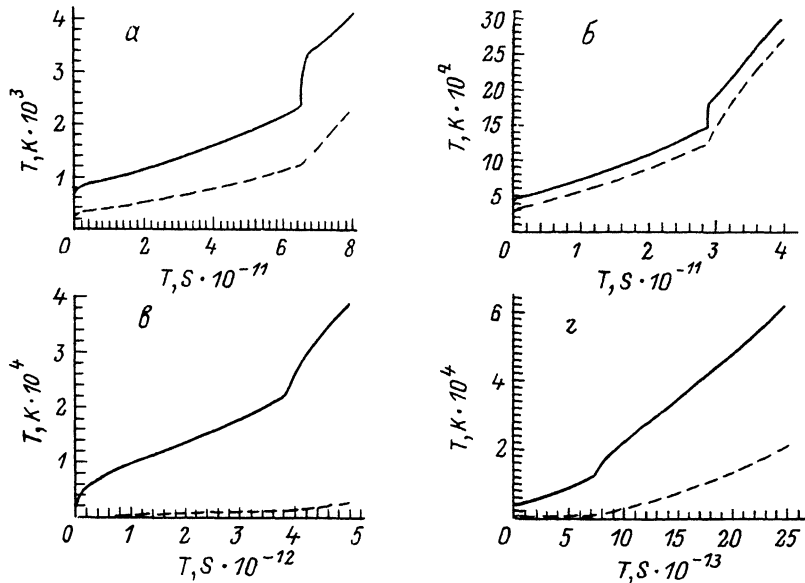


Рис. 1. Графики функций  $T_e(t, z=0)$  — сплошная линия,  $T_{\rho h}(t, z=0)$  — пунктирная линия для четырех вариантов: а) и в) —  $\alpha = 0.5 \cdot 10^{11}$  Вт/см<sup>3</sup>/К, б) и г) —  $\alpha = 5.0 \cdot 10^{11}$  Вт/см<sup>3</sup>/К; а) и б) —  $W_0 = 10^{10}$  Вт/см<sup>2</sup>, в) и г) —  $W_0 = 10^{12}$  Вт/см<sup>2</sup>.

постоянной  $T_0$ . Поэтому можно рассчитывать только на то, что решение (3) описывает некоторую асимптотику температурного поля при  $t \rightarrow \infty$ . С другой стороны, с ростом  $T$  увеличивается электронная теплоемкость и при достаточно больших временах уже нельзя пренебрегать членом  $c_e(T_e) \cdot \partial T_e / \partial t$  в первом уравнении системы (1). Тем не менее представляет интерес вопрос о существовании в определенном диапазоне параметров решений полной системы (1), которые сохраняли бы основные качественные черты данного решения: экспоненциальный рост температуры на поверхности и постоянство отношения  $T_e$  и  $T_p$ .

Для решения этого вопроса были проведены расчеты по схеме, описанной в работе [4], для четырех наборов параметров, охватывающих диапазон, характерный для рассматриваемой задачи  $5 \cdot 10^{10} \leq \alpha \leq 5 \cdot 10^{11}$  Вт/см<sup>3</sup>,  $10^{10} \leq W_0 \leq 10^{12}$  Вт/см<sup>2</sup>. Интервал по интенсивности излучения соответствует параметрам экспериментов [5, 6], интервал по  $\alpha$  взят потому, что имеется некоторая неопределенность в его конкретном значении [7, 8]. Остальные параметры были взяты для серебра  $c_p = 2.6$  Дж/см<sup>3</sup>,  $c_e(T_e) \approx \gamma_e \cdot T_e$ ,  $\gamma_e = 6.28$  Дж/см<sup>3</sup> К<sup>2</sup> и для длины волны лазерного импульса  $\lambda = 1.06$  мкм,  $\mu = 5 \cdot 10^5$  см<sup>-1</sup>. Коэффициент поглощения поверхности был взят в виде кусочно-линейной функции [9]

№	$r_e$	$\ln \gamma_e$	$r_i$	$\ln \gamma_i$	$\bar{r}$	$\overline{\ln \gamma}$
1	$1.71_{10}^{10}$	6.67	$2.14_{10}^{10}$	5.78	$1.93_{10}^{10}$	0.752
2	$4.10_{10}^{10}$	6.15	$4.71_{10}^{10}$	5.84	$4.41_{10}^{10}$	0.226
3	$3.79_{10}^{11}$	8.68	$3.82_{10}^{11}$	5.68	$3.80_{10}^{11}$	2.99
4	$1.96_{10}^{12}$	8.11	$2.02_{10}^{12}$	5.68	$1.99_{10}^{12}$	2.40

продолжение таблицы

№	$t_m$	$r_{th}$	$\ln \gamma_{th}$	$c_p \cdot \bar{r} / \alpha / (\bar{\gamma} - 1)$
1	$6.50_{10}^{-11}$	$1.71_{10}^{10}$	0.635	0.893
2	$2.87_{10}^{-11}$	$3.45_{10}^{10}$	0.165	0.904
3	$3.84_{10}^{-12}$	$6.23_{10}^{11}$	3.51	1.04
4	$7.25_{10}^{-13}$	$2.58_{10}^{12}$	2.67	1.03

В таблице даны параметры проведенных на рис. 2 прямых:  $\ln T_e(t, z=0) \approx r_e \cdot t + \ln \gamma_e$ ,  $\ln T_{ph}(t, z=0) \approx r_{ph} \cdot t + \ln \gamma_{ph}$ ,  $\bar{r} = 0.5 \cdot (r_e + r_{ph})$ ,  $\ln \bar{\gamma} = \ln \gamma_e - \ln \gamma_{ph} + (r_e - r_{ph}) \cdot 0.5 \cdot t_m$ ,  $t_m$  -

время начала плавления;  $r_{th}$  и  $\gamma_{th}$  - значения параметров по формулам (4) при  $\mathcal{X} = 0.9_{10}^{-4} \text{ K}^{-1}$ . Приведенные в последнем столбце таблицы значения  $c_p \cdot \bar{r} / \alpha / (\bar{\gamma} - 1)$  соответствуют соотношению  $c_p \cdot r / \alpha / (\gamma - 1) = 1$ , верному для рассматриваемого аналитического решения.

с разрывом в точке плавления (при  $T_m = 1234 \text{ K}$ ) и изломом в некоторой точке  $T_V = 4.3_{10}^4$ , где  $A=1$ . При этом конкретные значения параметров зависимости  $A(T_p)$  были взяты для „грязной“ поверхности [9]:  $A(300\text{K}) = 0.037$ ,  $A_{TB}(T_m) = 0.108$ ,  $A_{Ж}(T_m) = 0.246$ ,  $A(T) = 1$  при  $T \geq T_V$ . Полученные результаты, представленные на рис. 1 и 2, показывают, что действительно существует некоторый интервал времени  $[t_0, t_m]$ , с момента  $t_0$ , несколько более позднего, чем начало импульса, и до момента  $t_m$ , когда  $T_p$  достигает температуры плавления, в котором наблюдается экспоненциальный рост температуры при примерно постоянном отношении  $T_e/T_p$ . Из приведенной таблицы видно, что есть определенное соответствие между параметрами  $\bar{r}$  и  $\bar{\gamma}$ , определенными

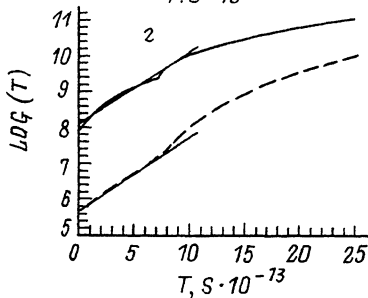
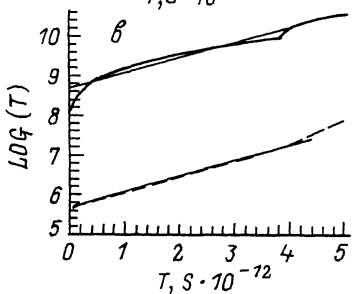
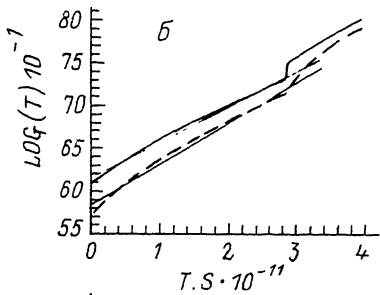
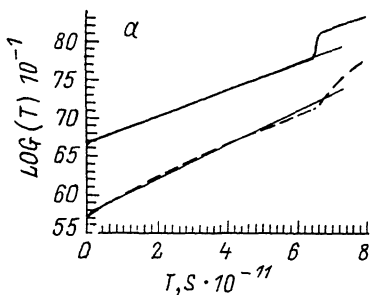


Рис. 2. Графики функций  $\ln T_e(t, z=0)$  — сплошная линия,  $\ln T_{ph}(t, z=0)$  — пунктирная линия для тех же вариантов, что и на рис. 1. Прямые линии — аппроксимируют функции методом наименьших квадратов на отрезке  $[0, t_m]$ .

из численного решения, и параметрами  $r_{th}$  и  $\gamma_{th}$ , полученными из соотношений (4).

Таким образом, несмотря на довольно сильные исходные допущения, решение [1] удачно схватывает некоторые черты полной системы уравнений и пригодно для качественного описания начальной стадии нагрева металла пикосекундным лазерным импульсом.

Авторы благодарят М.Н. Либенсона за полезные обсуждения.

### С п и с о к л и т е р а т у р ы

- [1] Либенсон М.Н. Докт. дисс. ГОИ им. Вавилова, Ленинград, 1987.
- [2] Анисимов С.И., Капелювич Б.Л., Перельман Т.Л. // ЖЭТФ. 1974. Т. 66. В. 2. С. 776-781.
- [3] Агранат М.Б., Бендицкий А.А., Гандельман Г.М., Кондратенко А.Г., Макшанцев Б.И., Рукман Г.И., Степанов Б.М. // ЖЭТФ. 1980. Т. 79. № 1. С. 55-62.

- [4] Анисимов С.И., Барсуков А.В., Макшанцев Б.М. *Opt. & Acoustic Rev.* (в печати).
- [5] Агранат М.Б., Анисимов С.И., Ашитков С.И., Макшанцев Б.И., Овчинникова И.Б. // *ФТТ*. 1987. Т. 29. № 11. С. 3267-3276.
- [6] A g r a n a t M.B., A n i s i m o v S.I., M a k s h a n t s e v B.I. // *J. Appl. Phys.* 1988. V. 47. P. 209-221.
- [7] Каганов М.И., Лифшиц И.М., Танаторов Л.В. // *ЖЭТФ*. 1956. Т. 31. В. 2. С. 232-237.
- [8] S o r k u m P.B., B r u n e l F., S h e r k m a n N.K., S r i n i v a s a n - R a u T. // *Phys. Rev. Lett.* 1988. V. 61. N 22. P. 2886-2889.
- [9] S p a r k s M., L o h E. // *J. Opt. Soc. Am.* 1979. V. 69. P. 847-868.

Институт высоких  
температур АН СССР,  
Ленинград

Поступило в Редакцию  
16 июля 1991 г.